

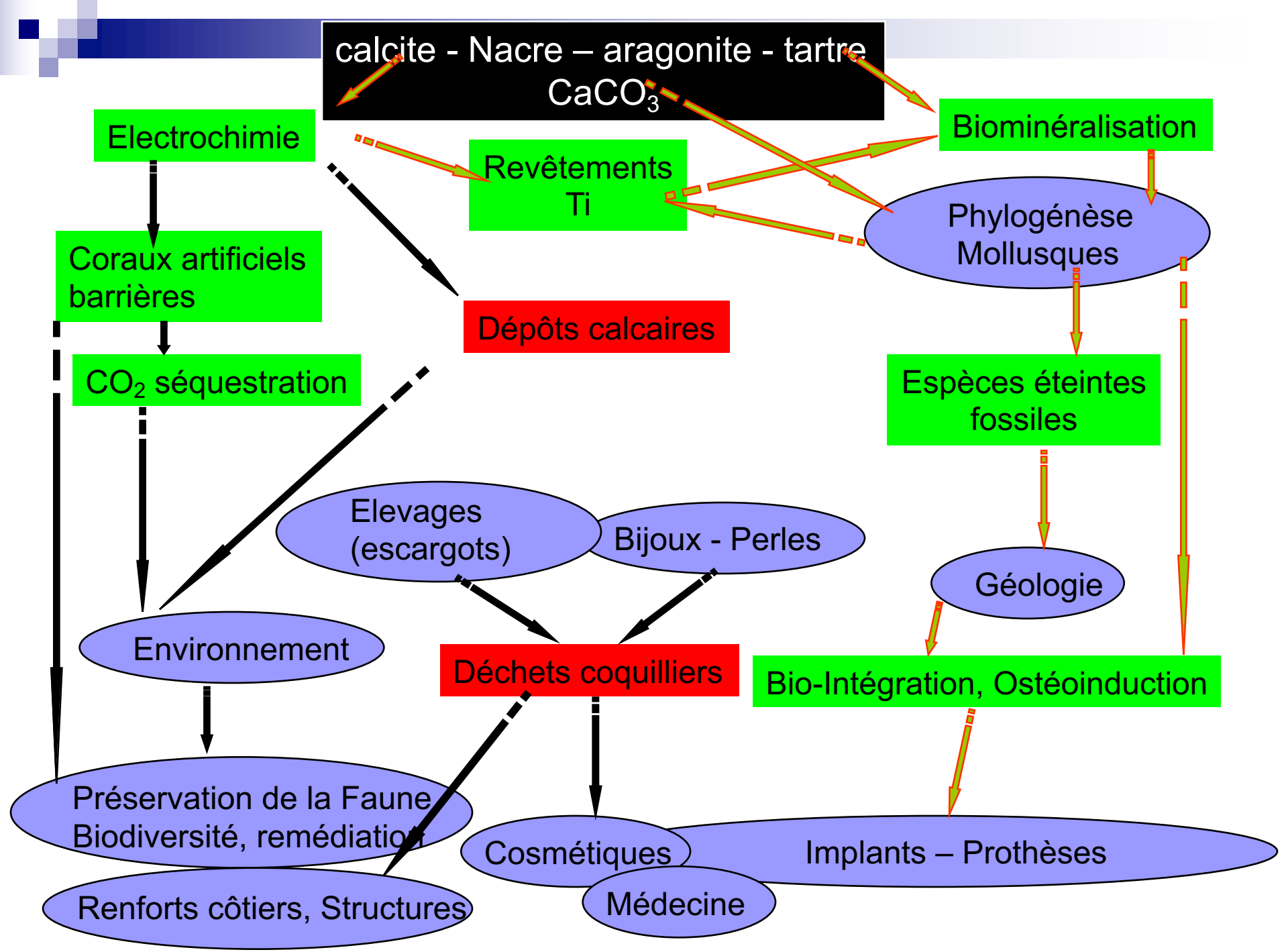


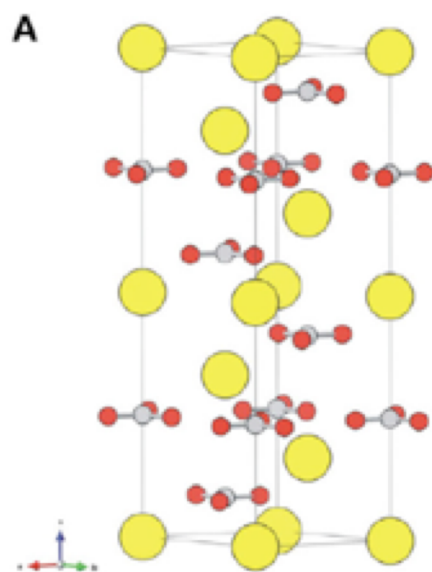
Coquillages, matériaux innovants et changement climatique

Daniel Chateigner

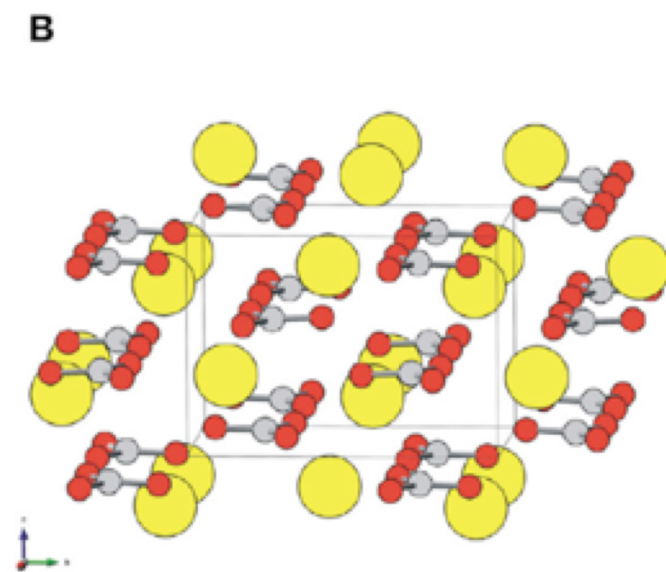
Normandie Université, CRISMAT-CNRS-ENSICAEN, Université Caen
Normandie

Coquillages, les 1000 vies du coquillage, 29 Sept. 2021, Sainte-Marie-de-Ré

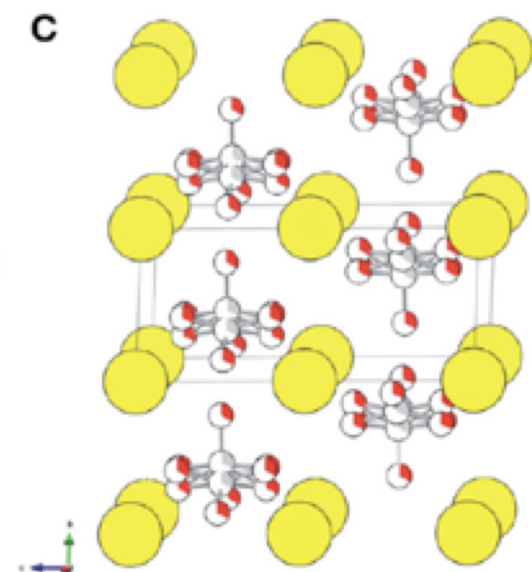




Calcite



Aragonite



Vaterite

Aplanarité des groupements carbonate dans CaCO₃:

$$\Delta Z_{C-O1} = c(z_C - z_{O1})$$

Minéral

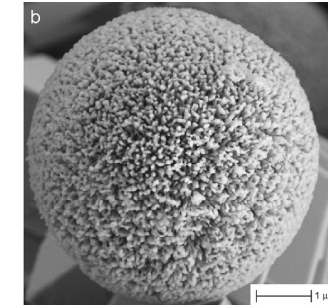
calcite

0 Å

aragonite

0.05744 Å
+2 kJ/mol

vaterite



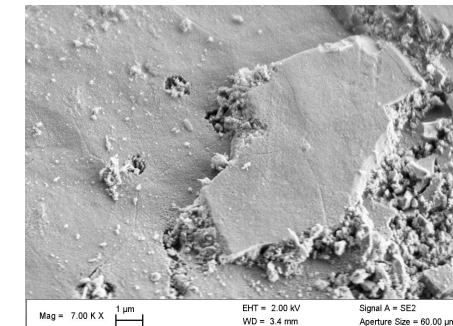
Biogénic

calcite

aragonite

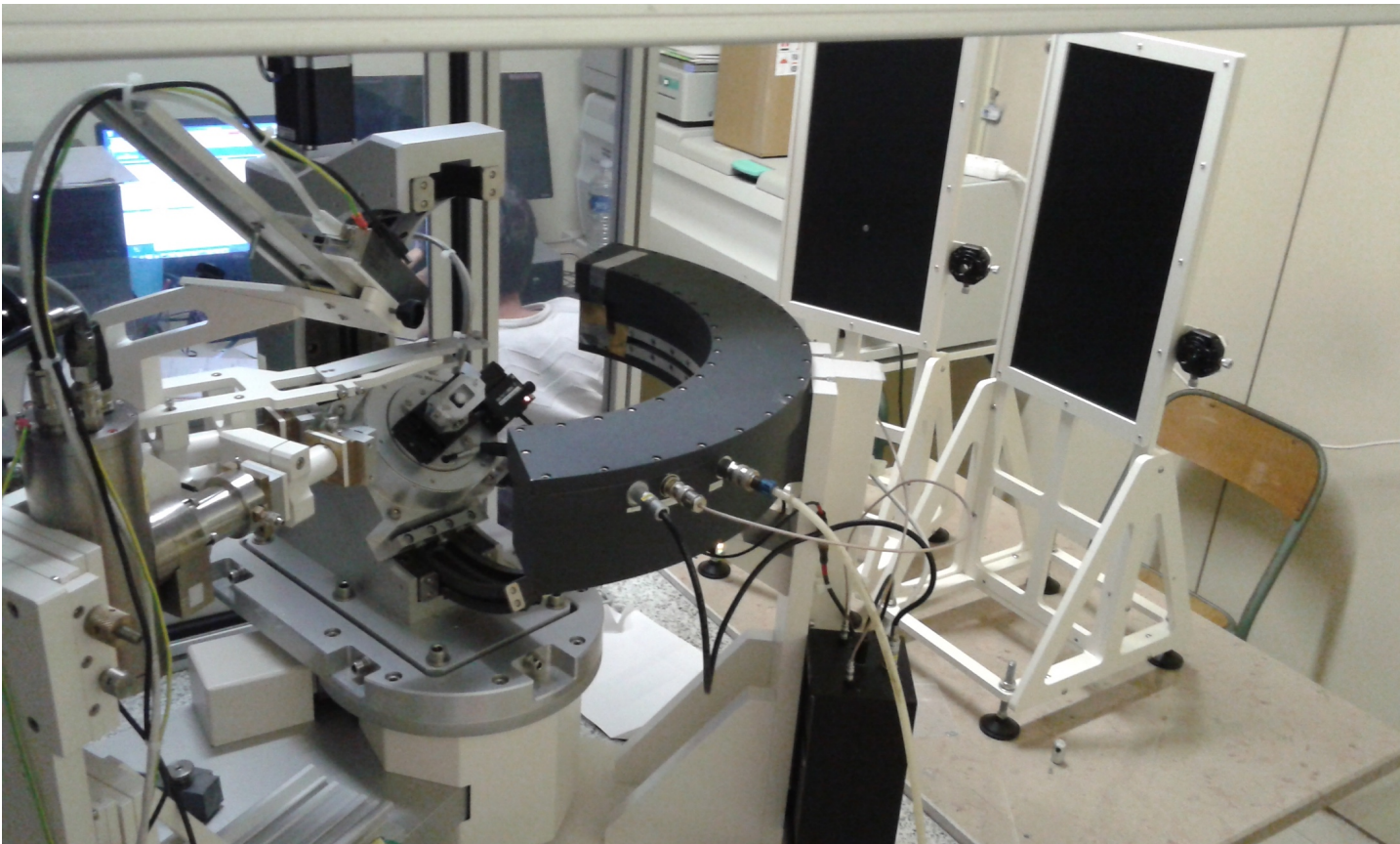
vaterite

CO₃ plus distordu



[Mg²⁺], molécules inter/intracrystalline

Une expérience type de diffraction X

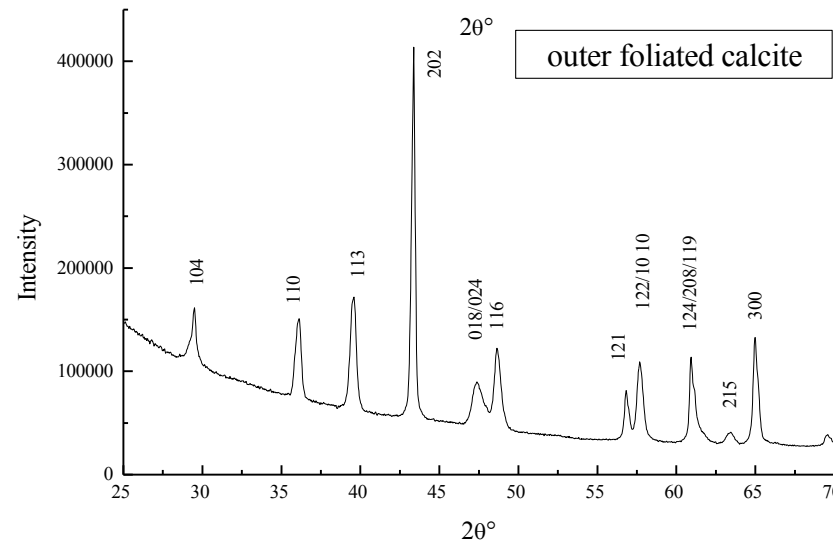
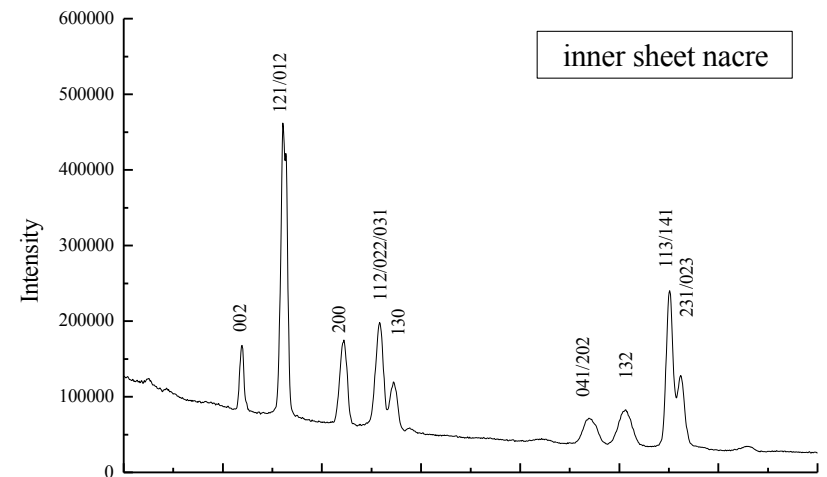


Diffraction de rayons X

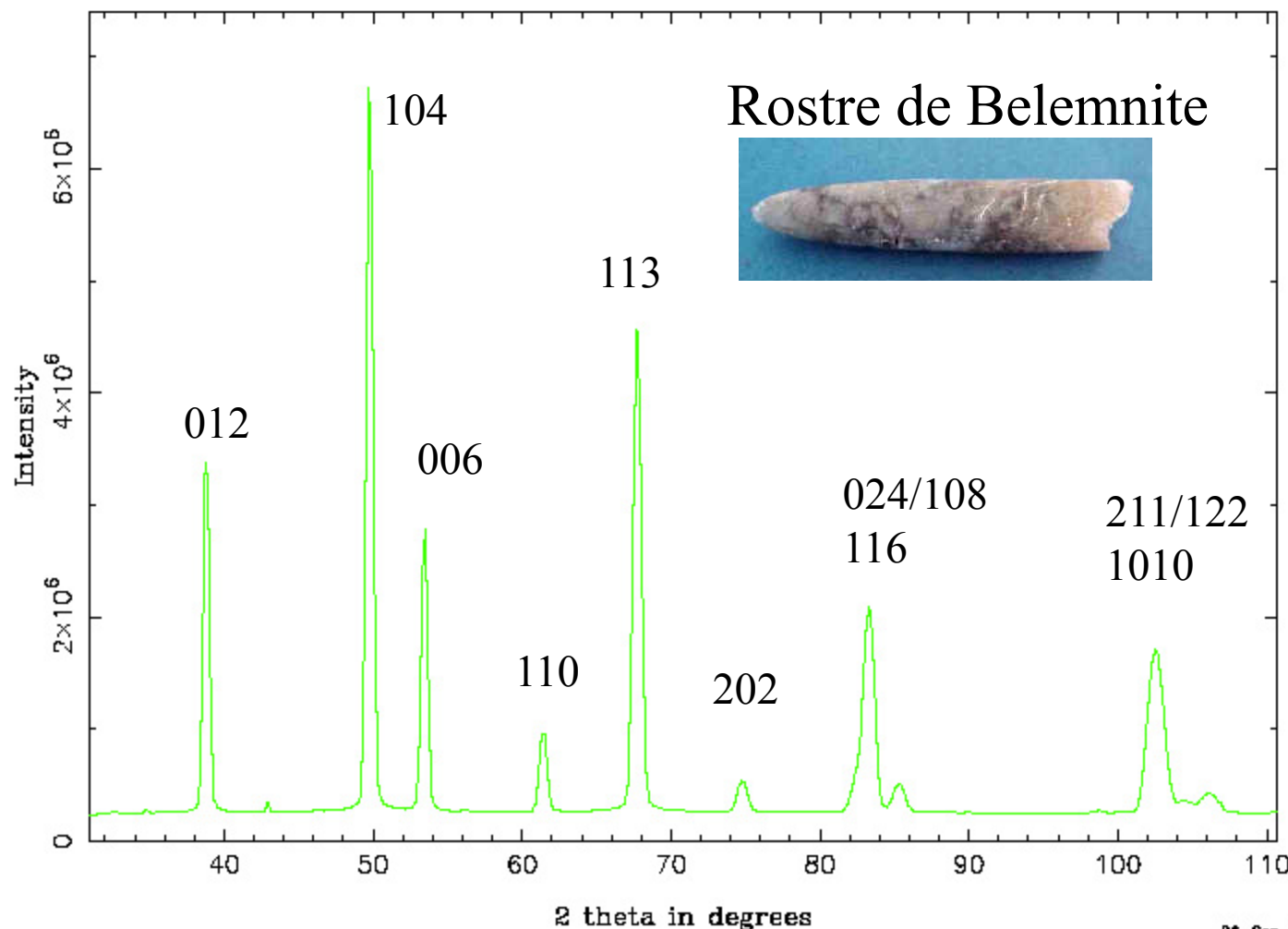
Mytilus edulis



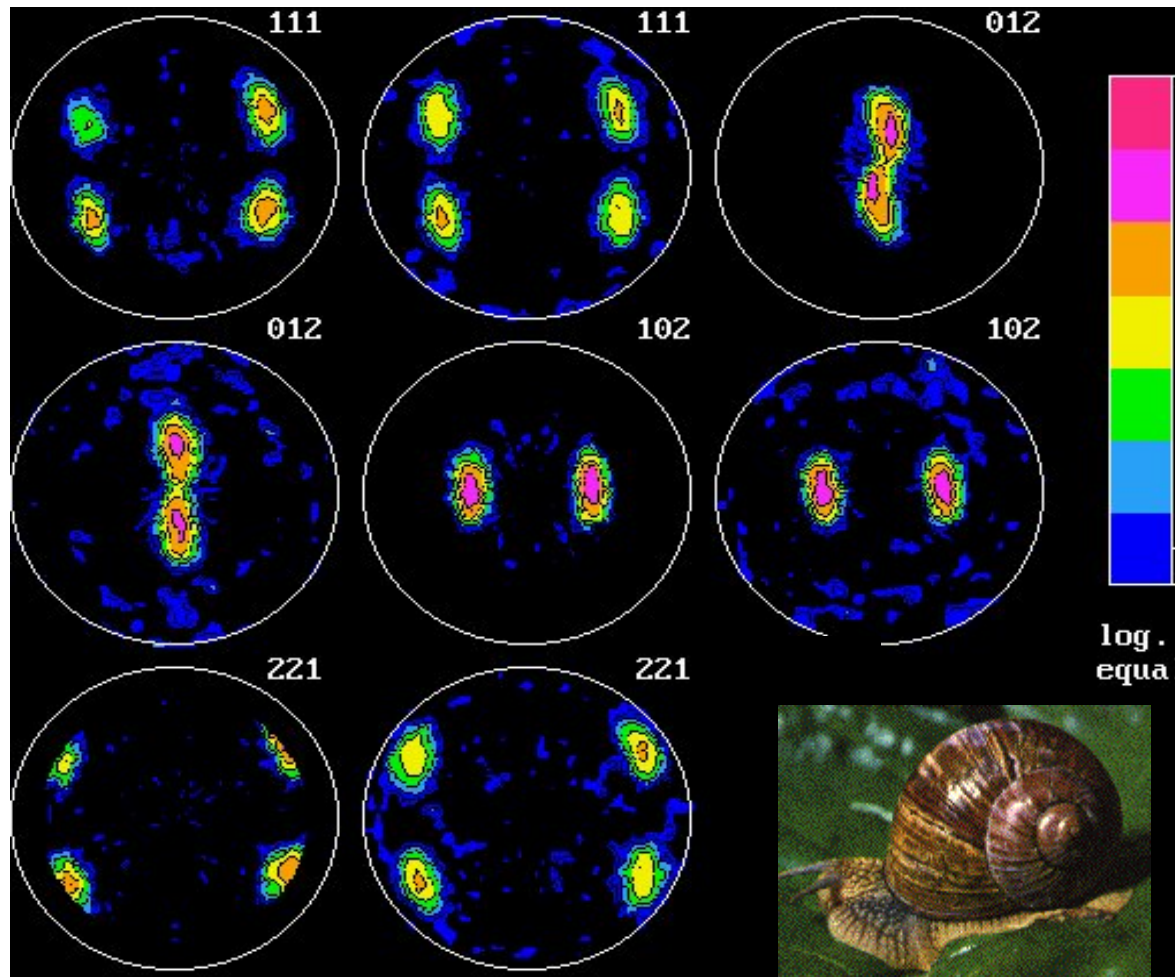
Crassostrea gigas



Diffraction de neutrons

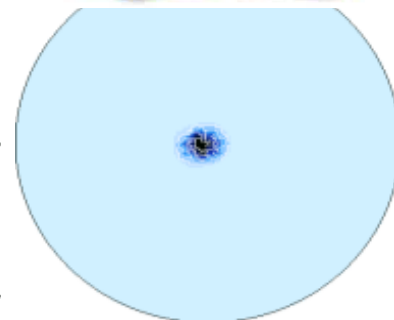


OD-reliability: *Helix pomatia* (Bourgogne)



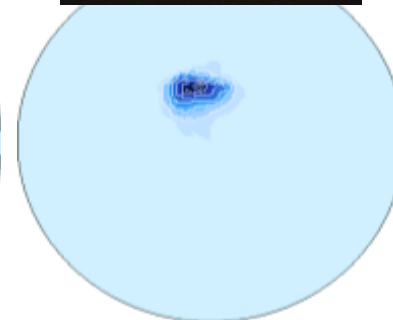
Alignements types des axes c

*Pinctada
maxima*
ISN



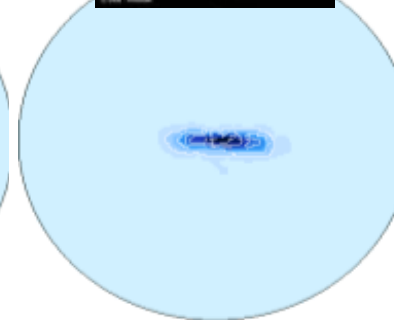
⊥

*Nerita
polita*
ICCL



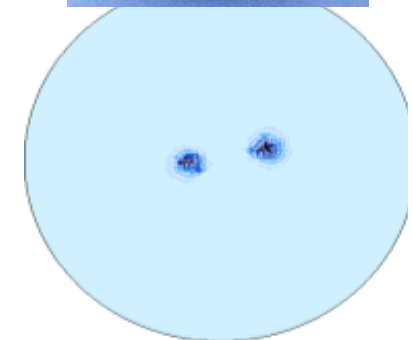
∠

*Fragum
fragum*
ICCL



Δ

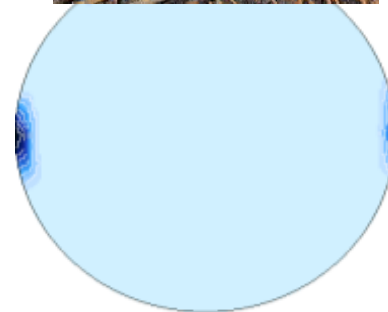
*Cypraea
testudinaria*
ICCL



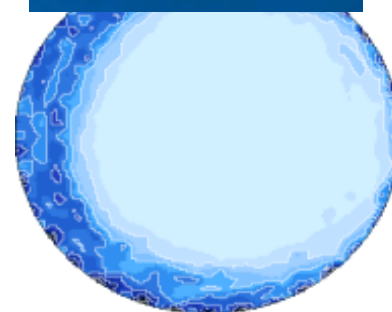
∨

Alignements types des axes a

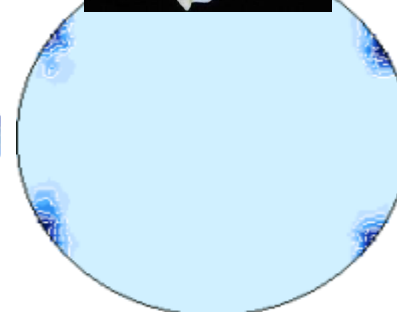
Helix
pomatia
OCCL



Tectus
niloticus
ICN



Conus
leopardus
ICCL



Nautilus
pompilius
ICN



a

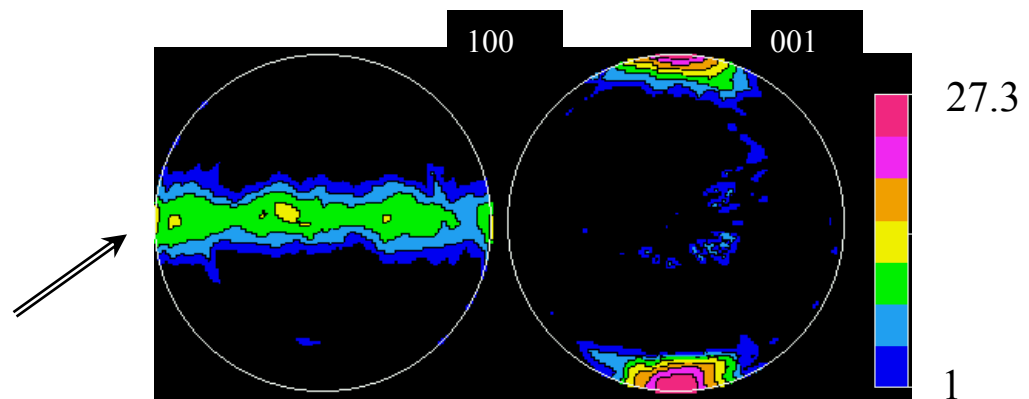
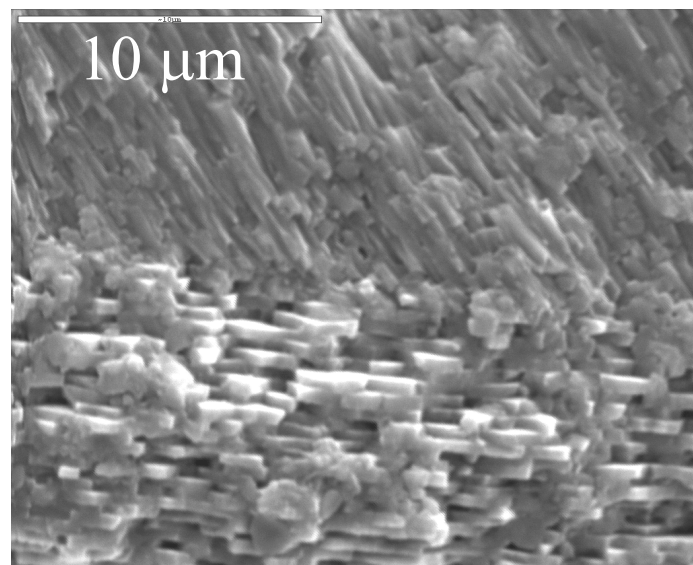


Microstructure versus texture



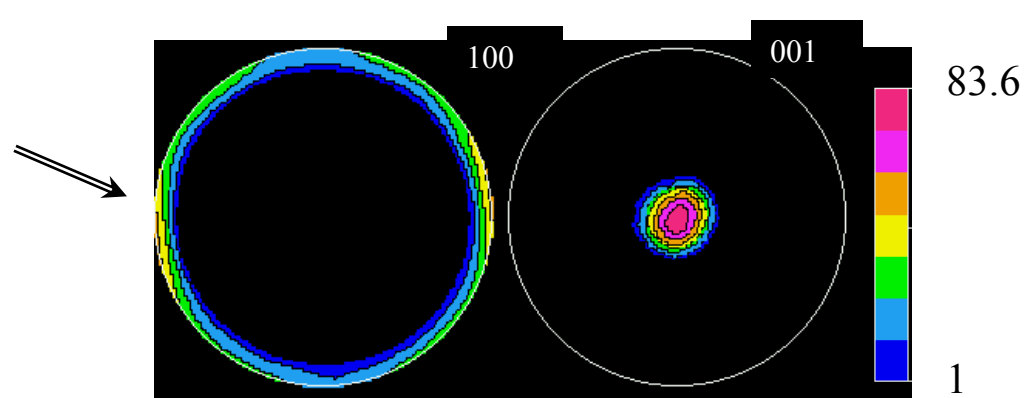
Bathymodiolus thermophilus (moule de -2400m)

$$\left\langle \angle, 90 | \text{OFC} | I^{c,0} \right\rangle$$



G

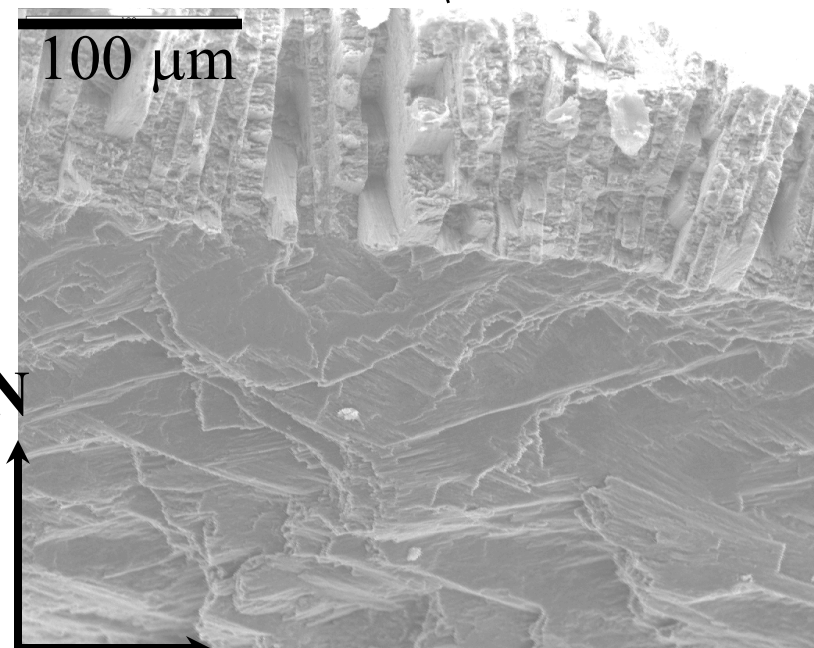
$$\left\langle \perp | \text{ISN} | *_{38}^{a,90} \right\rangle$$



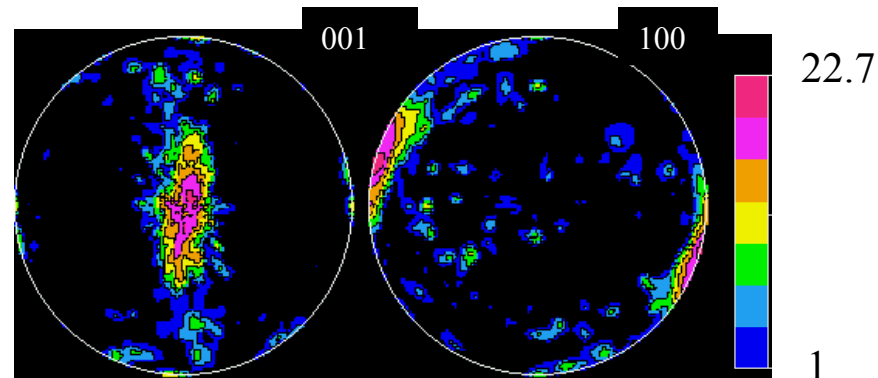
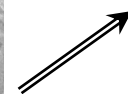


Microstructure versus texture

Euglandina rosea formes différentes, mêmes orientations !

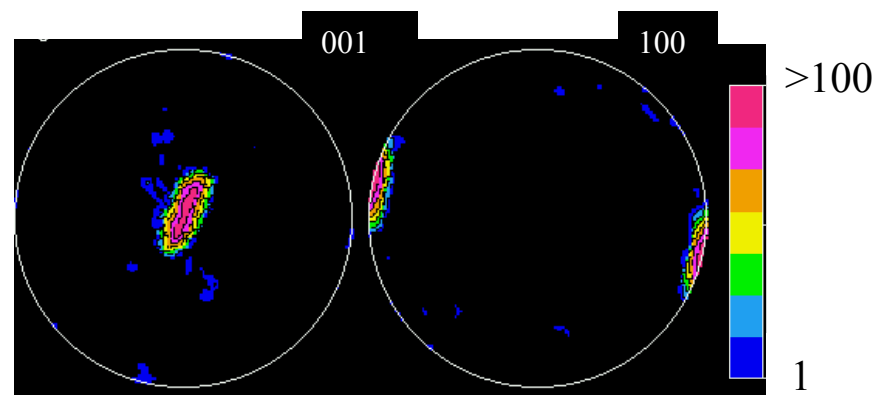
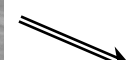


$$\left\langle \perp | \text{ORCL} | I^{a, 75} \right\rangle$$



no inter-mineral epitaxy

$$\left\langle \perp | \text{ICCL} | I^{a, 80} \right\rangle$$

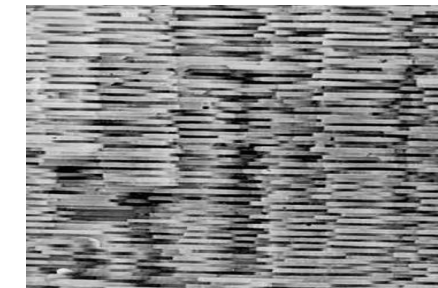
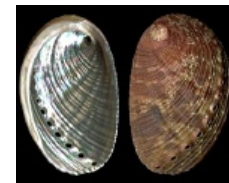


Deux grands types de Nacres

Gastéropodes

Nacre Colonnaire

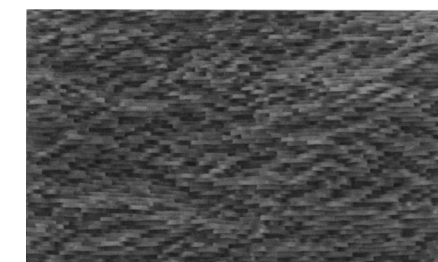
Haliotis tuberculata (ormeau)



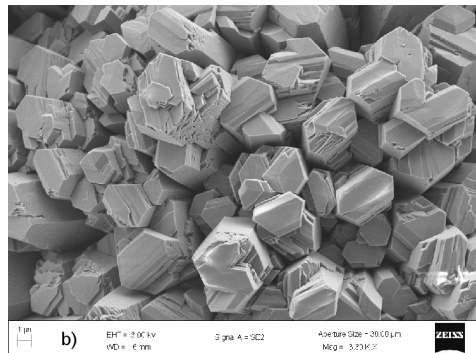
Bivalves

Nacre mur de briques

Pinctada maxima (huître perlière)

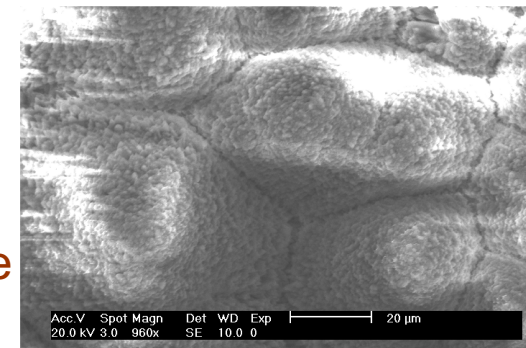


Couches électrodéposées $\text{CaCO}_3/\text{Ti-Al-V}$

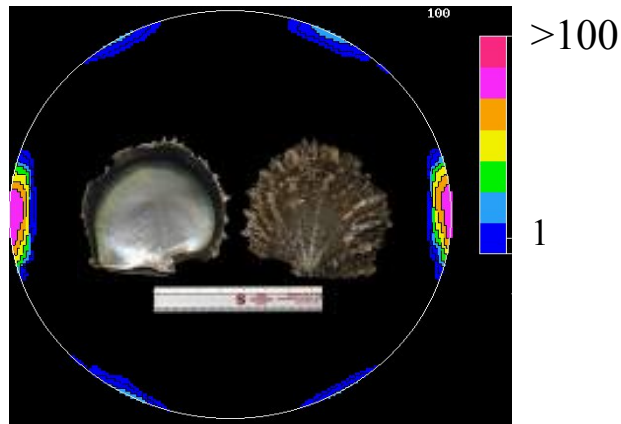
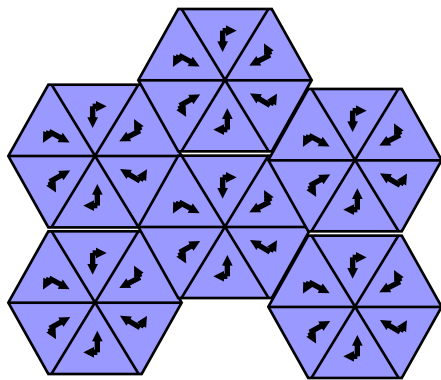


Electrolyte Inorganique

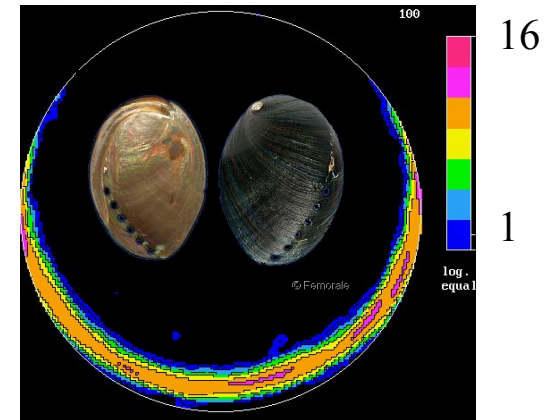
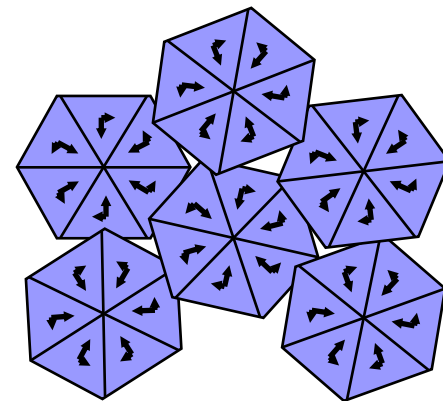
avec extrait non-polaire
Pinctada maxima



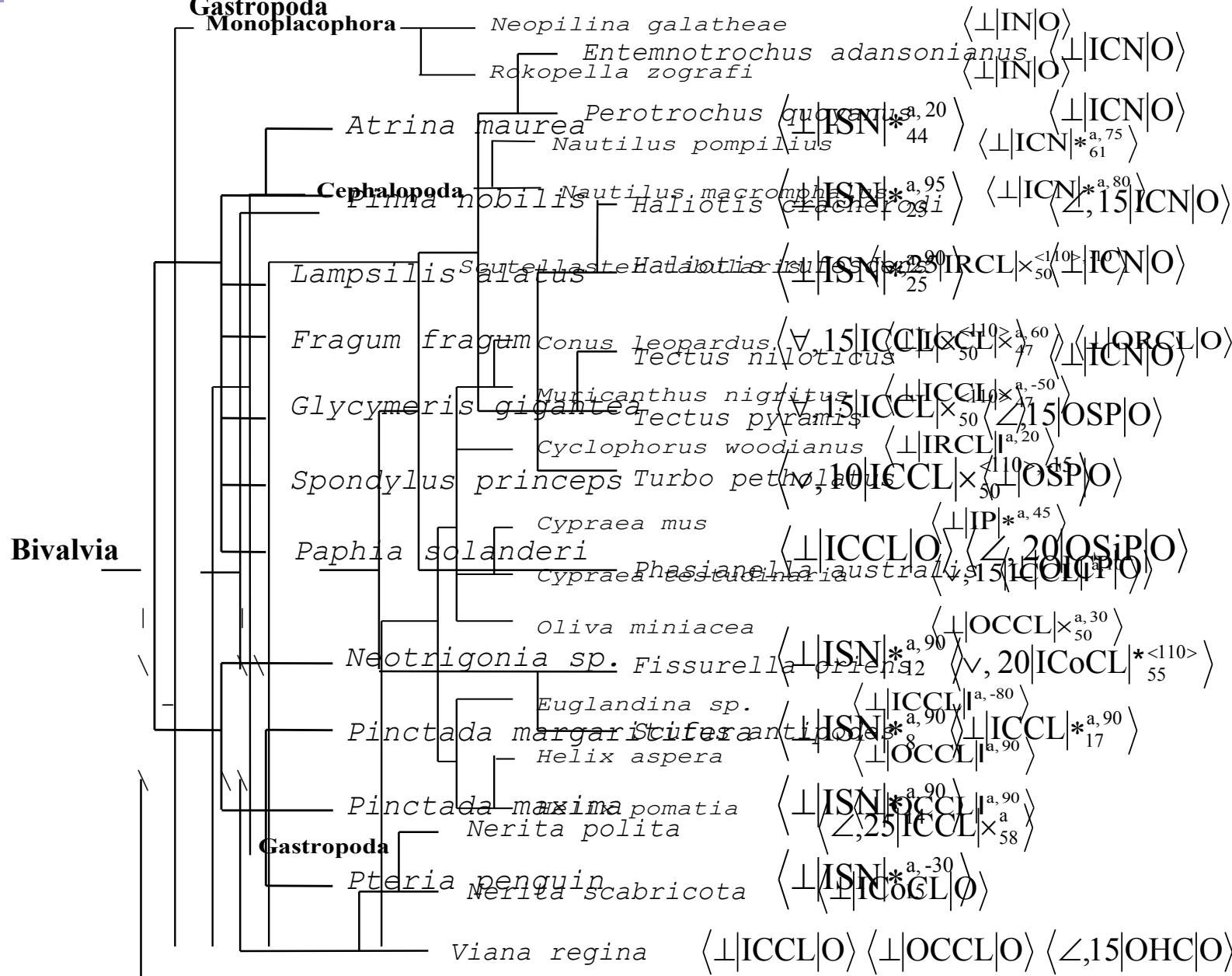
... that rearrange ...



Pinctada margaritifera
(black pearl oyster)



Haliotis cracherodi
(black abalone)

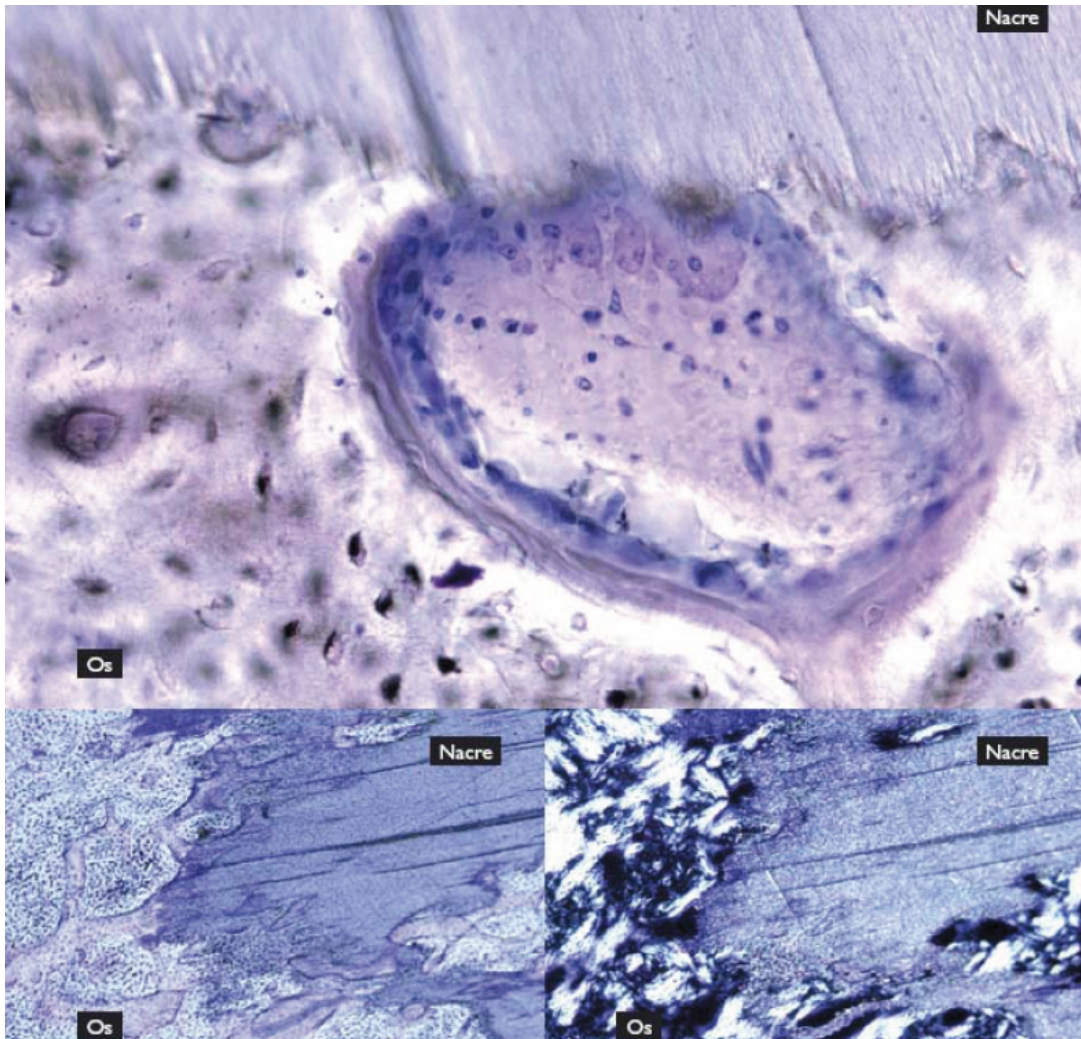




- 4000 av. JC
cranes maya, Honduras

Amadéo Bobbio (1972) *Bull. Historical
Dentology*

Evelyne Lopez, MNHN, Paris

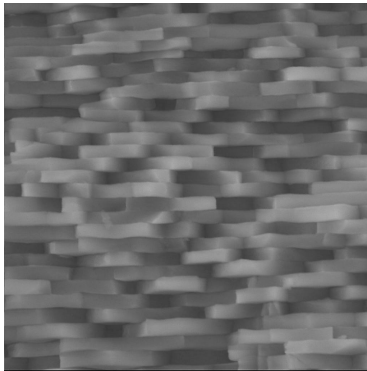


Stimulation des cellules
osseuses à l'interface
nacre/os

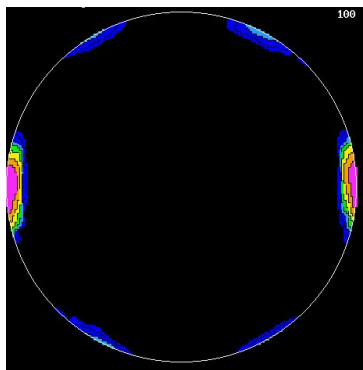
Pénétration d'os néo-formé
dans la nacre

Evelyne Lopez *et al.* (1992) *Tissue & Cell*

Pinctada margaritifera, *P. maxima* and *Pinna nobilis* nacres:
Bio-compatible and **osteo-inductive** for human osteoblasts (E.
Lopez (MNHN, Paris)



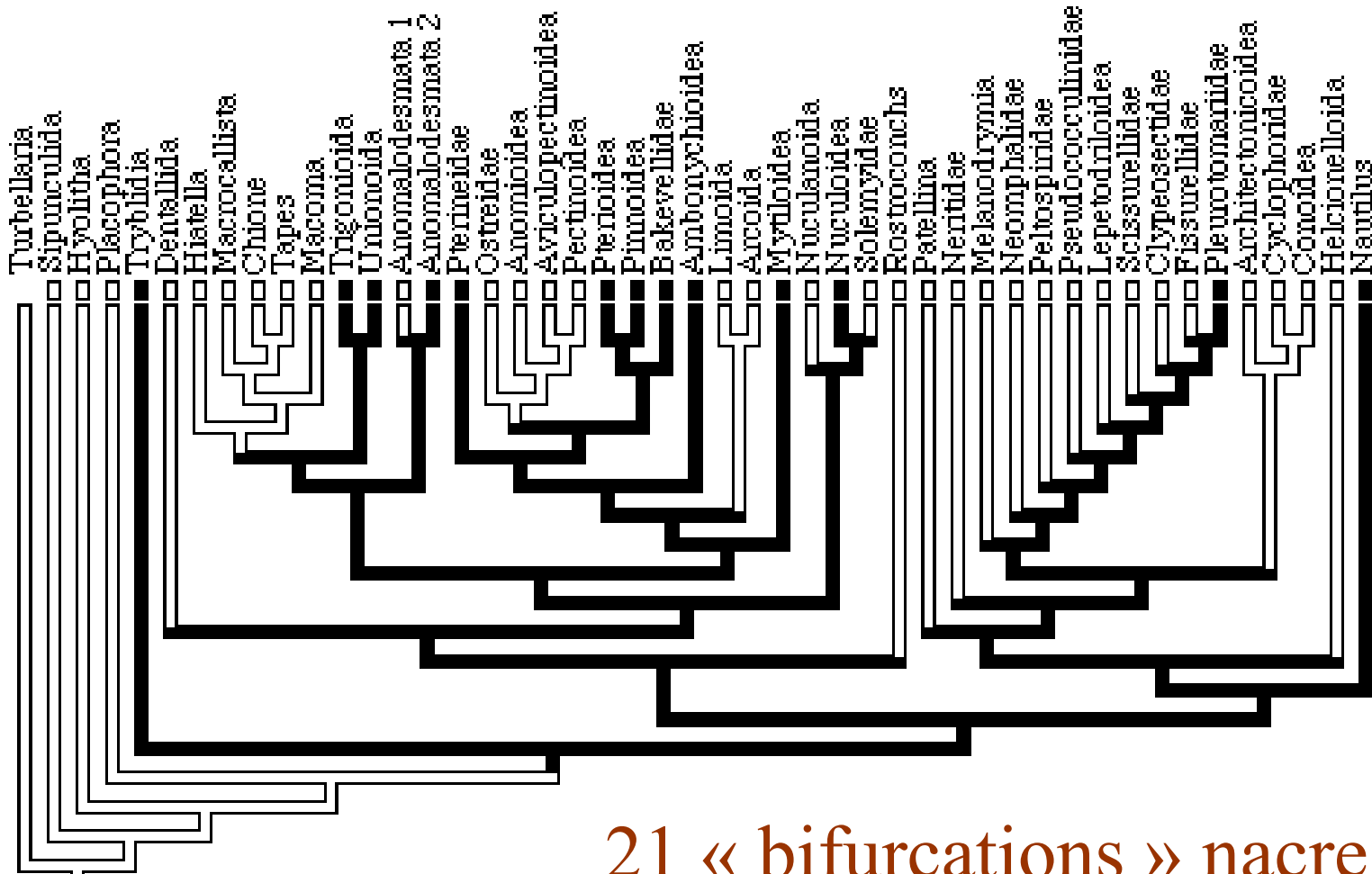
Bivalvia



P. Margaritifera

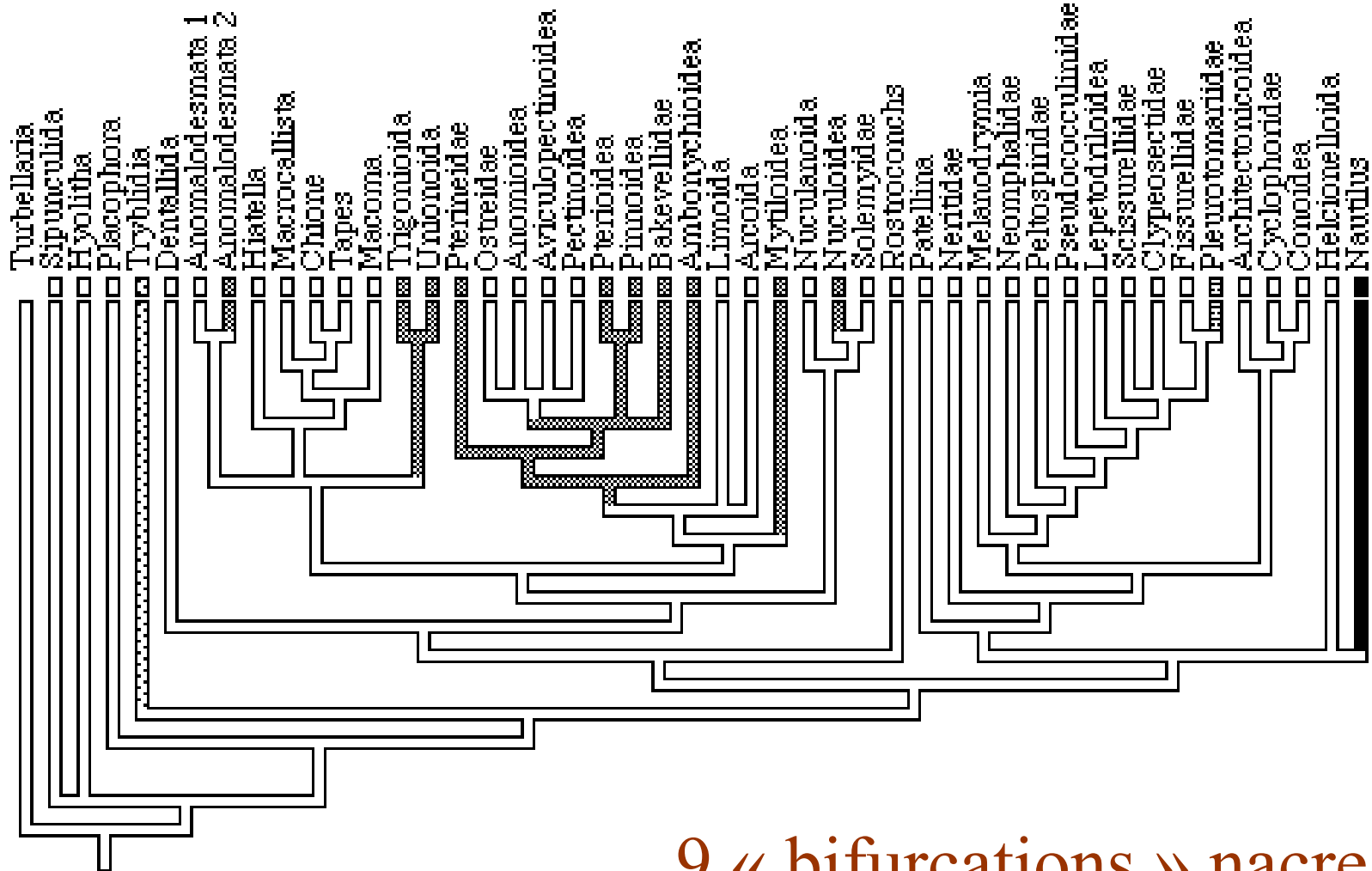
<i>Atrina maurea</i>	$\langle \perp ISN *_{44}^{a, 20} \rangle$
<i>Pinna nobilis</i>	$\langle \perp ISN *_{25}^{a, 95} \rangle$
<i>Lampsilis alatus</i>	$\langle \perp ISN *_{25}^{a, 90} \rangle$
<i>Fragum fragum</i>	$\langle \forall, 15 ICCL \times_{50}^{<110>} \rangle$
<i>Glycymeris gigantea</i>	$\langle \forall, 15 ICCL \times_{50}^{<110>} \rangle$
<i>Spondylus princeps</i>	$\langle \vee, 10 ICCL \times_{50}^{<110>, -15} \rangle$
<i>Paphia solanderi</i>	$\langle \perp ICCL O \rangle \langle \angle, 20 OSiP O \rangle$
<i>Neotrigonia sp.</i>	$\langle \perp ISN *_{12}^{a, 90} \rangle$
<i>Pinctada margaritifera</i>	$\langle \perp ISN *_8^{a, 90} \rangle$
<i>Pinctada maxima</i>	$\langle \perp ISN *_{14}^{a, 90} \rangle$
<i>Pteria penguin</i>	$\langle \perp ISN *_{15}^{a, -30} \rangle$

cladistique: nacre = ancestrale (Carter & Clarck, 1985)



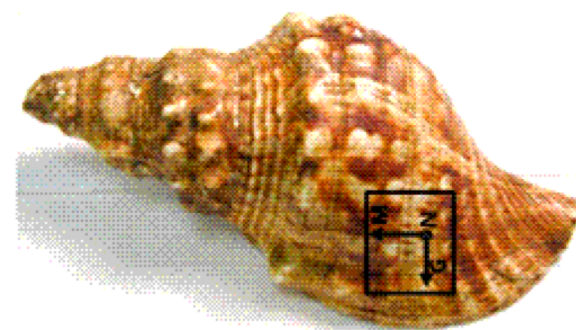
21 « bifurcations » nacre

nacre non ancestrale: plus parsimonieux



9 « bifurcations » nacre

Des propriétés mécaniques exceptionnelles, optimisées !

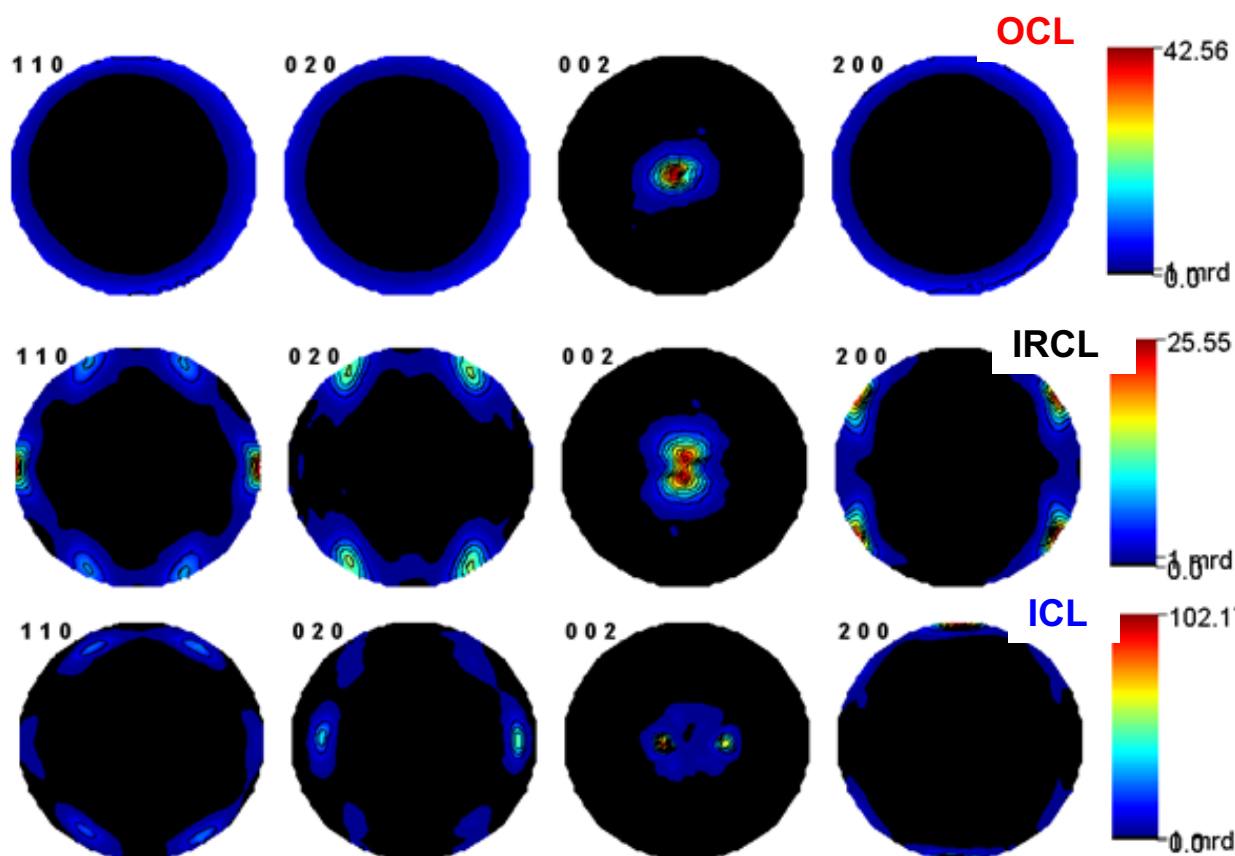


Charonia lampas lampas

OCL : Outer Com marginal
Crossed Lamellae : lamellae
plane // M

IRCL : Intermediate Radial
Crossed Lamellae : lamellae
plane \perp M

ICCL : Inner Irregular Complex
Crossed Lamellae



Fiber texture: $\vec{c} \parallel N$

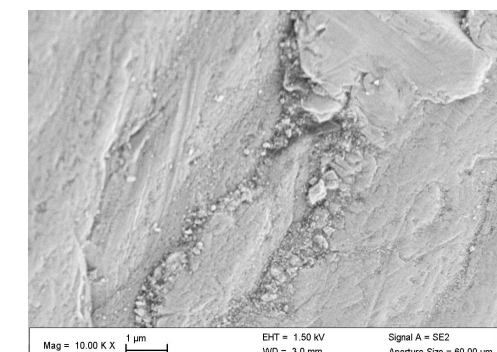
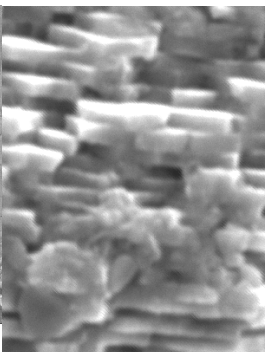
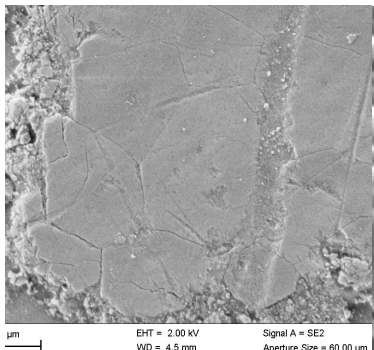
Split of \vec{c} axes around N
+ two contributions //
(G,N) plane.

Split of \vec{c} axes from N
+ two contributions //
(M,N) plane.

Elastic stiffnesses

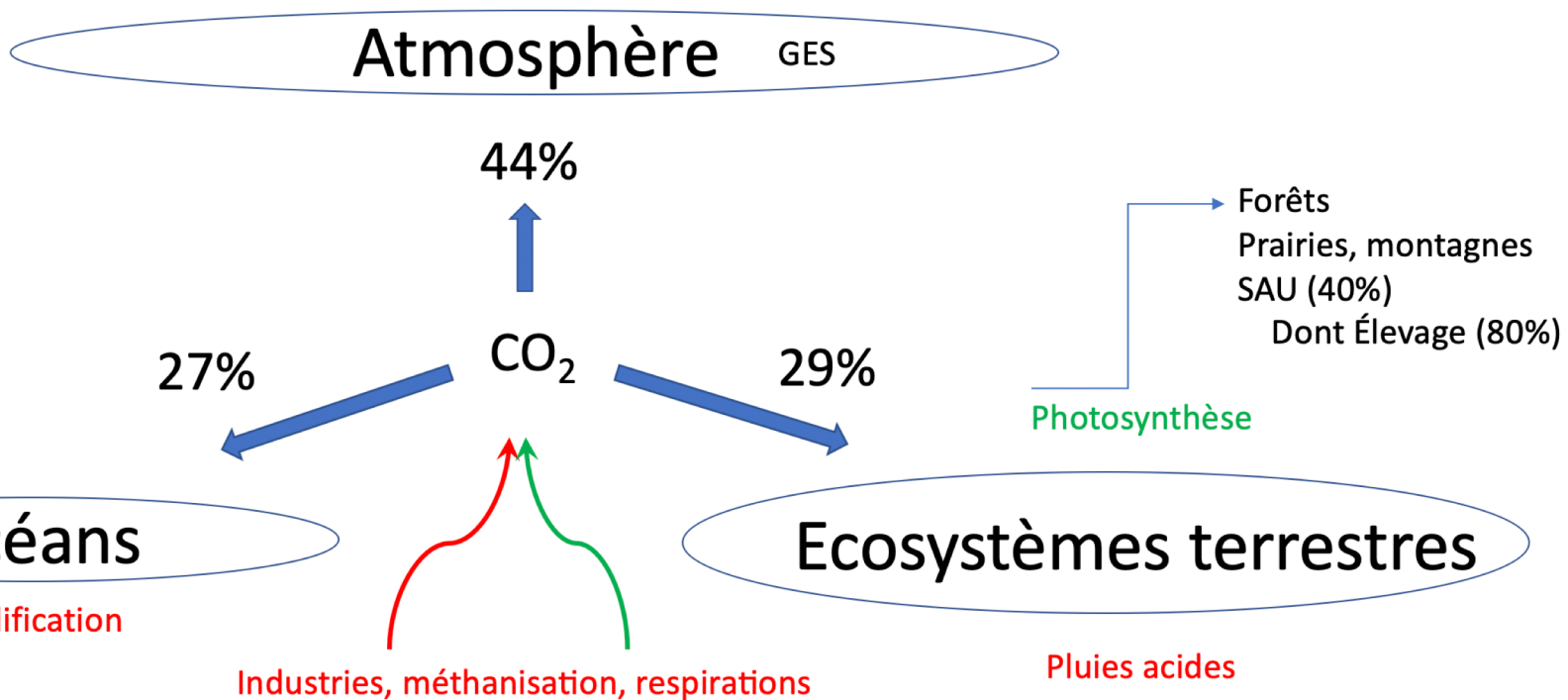
Single crystal	160	37.3	1.7			
		87.2	15.7			
			84.8			
				41.2		
					25.6	
ICCL	96.5	31.6	13.7			
		139	9.5			
			87.8			
				29.8		
					36.6	
RCL	130.1	32.6	10.3			
		103.3	14.1			
			84.5			
				36.3		
					31.1	
OCL	111.1	32.9	13.2			
		119	11.8			
			84.8			
				32.8		
					34.6	

Hyriopsis cumingi (moule d'eau douce), Chine



Nacre mur de brique
(aragonite)

défauts structuraux
(vaterite)



ET chez les coraux (Cnidaires) ?



Seriatopora



Millepora



Acropora



Phaceloida

Invariablement de l'aragonite
Sauf certains fossils !



Fossilized sp.



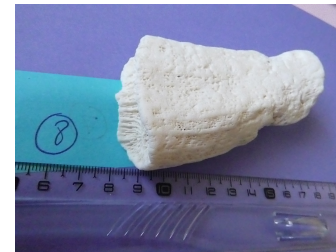
Stylocoeniella



Turbinaria



Fungia



Lobophyllia



Cerioda

Pourquoi pas les aider ?

Caractéristiques du matériau

Durable et auto-cicatrisant

Le Géocorail® se forme au fil du temps et se restaure de lui-même en maintenant le dispositif actif.

Mise en œuvre sans moyen lourd

Produit directement sur site, le Géocorail® ne nécessite qu'un faible champ électrique sans danger pour les personnes (Tension V < Norme C15100)

Ecologique

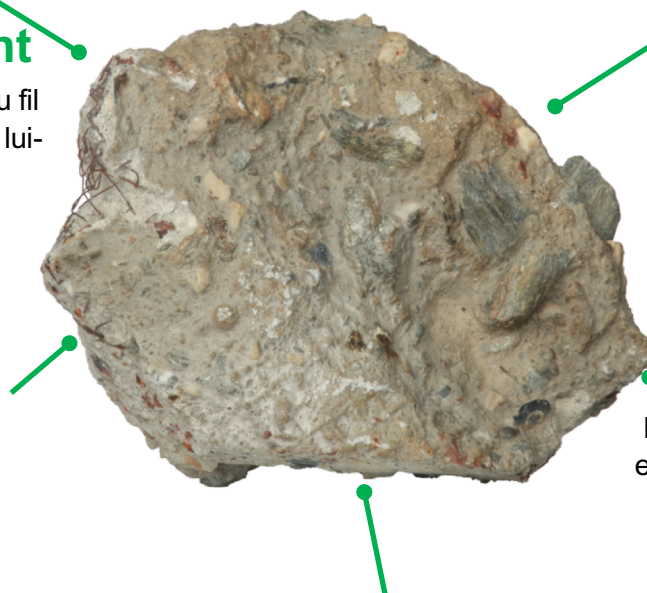
Le Géocorail® fixe des éléments naturellement présents dans l'eau de mer, sans apports extérieurs et sans aucun rejet

Esthétique

L'agrégation des grains, graviers et débris coquilliers présents dans le milieu conserve formes et aspects à l'état naturel sans altérations

Epaisseur et caractéristiques mécaniques intéressantes

Evoluant dans le temps : plusieurs dizaine de centimètres





199x, Bloc de Géocorail®,
Plage de Sauzon (Belle-Ile-en-Mer)
Tapis de rétention de sable



2002, Bloc de Géocorail®,
Plage de la cible (Saint-Martin de
Ré)

*Démonstration liaison épi rocheux –
plage sablonneuse*

2005, Port des Minimes (plateforme exp.), M. Jeannin
Laboratoire LASIE (La Rochelle)

Consolidation de la falaises des Minimes



201x, Station Marine Luc-sur-Mer, O. Gil
Laboratoire ABTE (Caen)

Thèses de A. Zanibello, C. Carré, Postdoc de D. Nguyen)

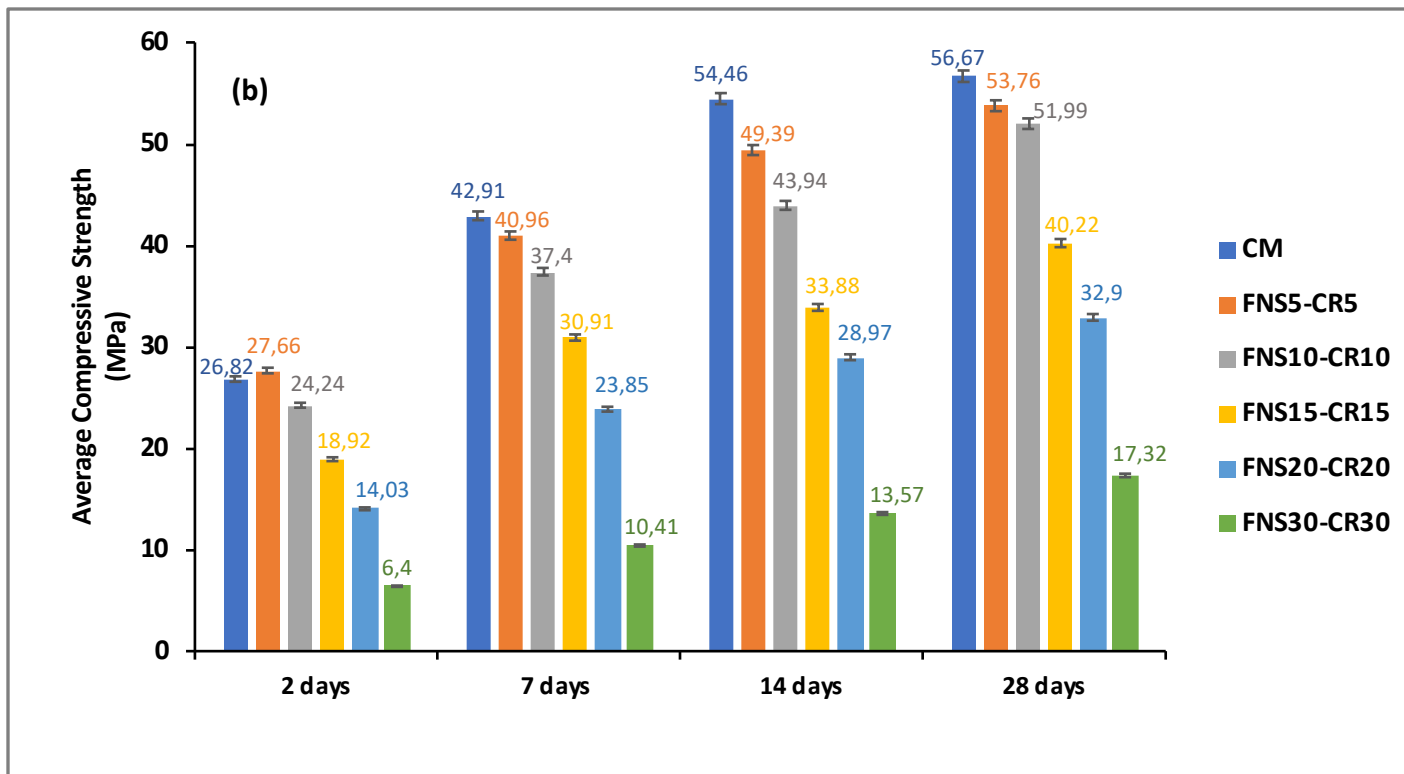
2014-2018: ANR EcoCorail (M. Jeannin, LASIE)
Angoulins-sur-Mer: *Restauration d'endiguement*
Luc-sur-Mer: *Aquarium du CREC*
Nouméa: *Aquarium des Lagons*
Wallis-et-Futuna: *Plage*
Châtelaiillon: *Plage*
Géocorail®: Fos-sur-Mer



Géocorail formé en pied de falaise

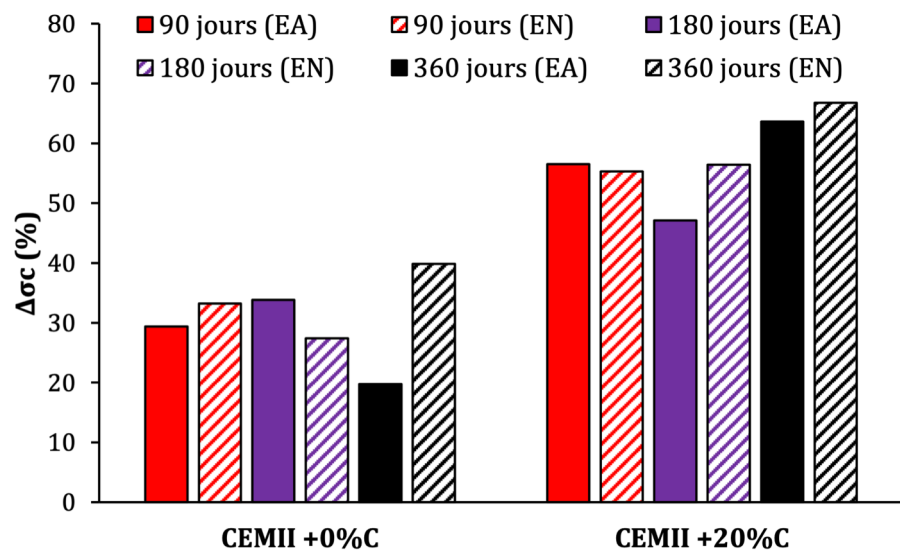
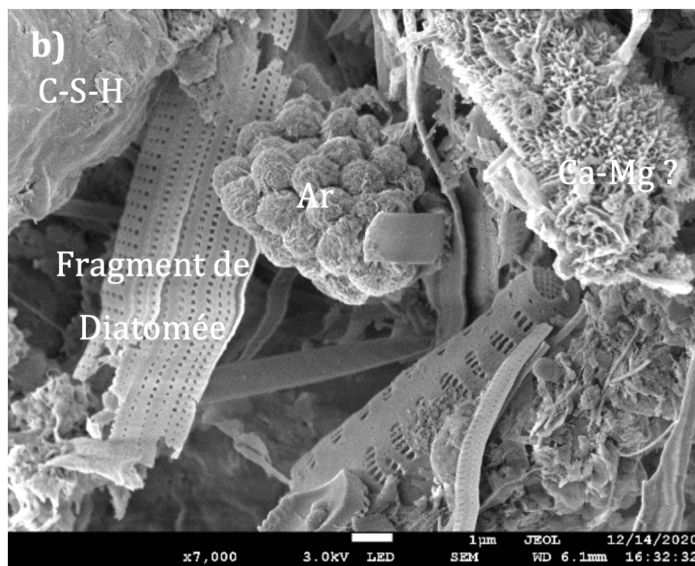
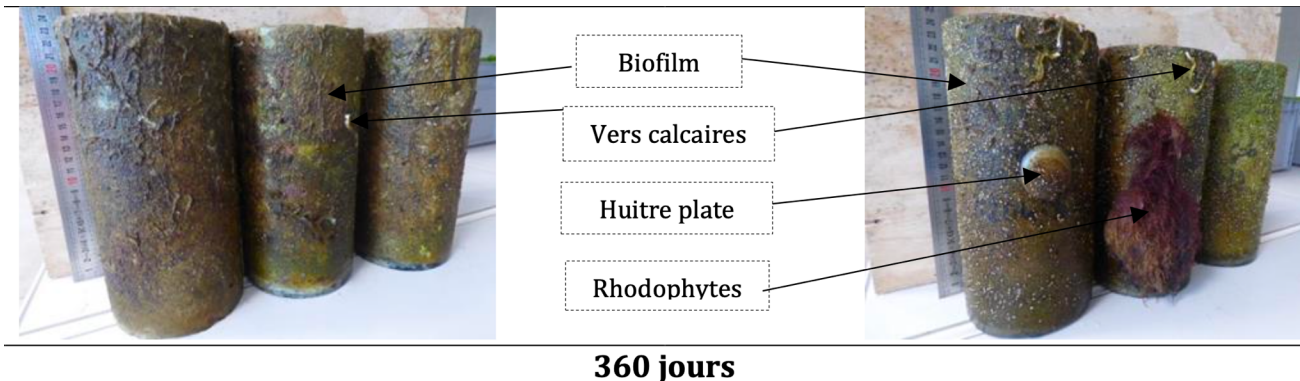


Aider à capter CO₂ tout en recyclant les déchets miniers et coquilliers ?



Incorporation de scories et de *Crepidula fornicata*
(thèse M. Bouasria, ESITC Caen)





Néofaune algale: *Ostrea edulis* et biofilm de *Cylindrotheca closterium*
(Thèse M. Georges, ESITC Caen)

Réflexion globale: Transition Energétique maintenant ?

Raréfaction des ressources

Raréfaction de l'énergie

Démographie croissante

Recul du Permafrost

Fontes calottes glaciaires



Démographie
Education
Modération
Optimisation

DEMO

GES : +4-7°C en 2100

Réduction des surfaces
habitables et cultivables

Migrations de masse,
famines, conflits

Remerciements

M. Jeannin, R. Sabot, LASIE La Rochelle; S. Gascoin, CRISMAT Caen; H.-R. Wenk, DEPS Berkeley USA; A. Bourguiba, Y. El Mendili, M. Boutouil, ESTIC; M. Morales, CIMAP Caen; L. Lutterotti, Trento Univ; E. Lopez, MNHN Paris; X. Bourrat, BRGM Orléans; C. Hedegaard †2009

A. Zanibellato, C. Carré, D. Nguyen, B. Maëstracci, M. Bouasria, M. Georges (Thésards, Postdocs)

Geocorail®; MARVEL expedition (1997); HOPE expedition (1999); EC: ESQUI, SOLSA; ANR: Ecocorail; Région Centre: SMAM